

## 제조 조건에 따른 습도센서용 질화탄소막의 정전용량-전압 특성

김성엽<sup>1</sup>, 이지공<sup>1</sup>, 이성필<sup>1</sup>

경남대학교 전자공학과<sup>1</sup>

### Capacitance-Voltage Characteristics of Carbon Nitride Films for Humidity Sensors According to Deposition Condition

Sung-Yub Kim, Ji-Gong Lee, Sung Pil Lee<sup>1</sup>

Department of Electronic Engineering, Kyungnam University<sup>1</sup>

#### Abstract

Carbon nitride ( $CN_x$ ) films were prepared by reactive RF magnetron sputtering system at various deposition conditions and the C-V characteristics of MIS(metal - insulator - semiconductor) capacitors that have the structures of Al/CN<sub>x</sub>/p-Si/Al and Al/CN<sub>x</sub>/Si<sub>3</sub>N<sub>4</sub>/p-Si/Al were investigated. The resistivity of carbon nitride was above  $2.40 \times 10^8 \Omega \cdot cm$  at room temperature. The C-V plot showed a typical capacitance-voltage characteristics of semiconductor insulating layers, while it showed hysteresis due to interface charges. Amorphous carbon nitride ( $a-CN_x$ ) films, that have relatively high resistivity and low dielectric constant could be useful as interlayer insulator materials of VLSI(very large-scale integration) and ULSI(ultra large-scale integration).

**Key Words :** Carbon nitride films, C-V plot, Humidity sensors, MIS structure

## 1. 서 론

질화탄소막이 결정성을 띤  $\beta$ - $C_3N_4$ 로 형성이 되면, 다이아몬드와 비슷한 강도를 가지기 때문에 공구강 표면 코팅재료로 이용할 수 있는 가능성이 예견되고 있으나 종래의 반응성 스퍼터링법으로는 중착하기가 어려운 것으로 되어 있고 그 물리적, 전기적 특성도 잘 알려지지 않고 있다[1]. 즉 종래의 스퍼터링 시스템은 웨이퍼 내에 플라즈마를 생성

하기 위한 자속밀도가 낮기 때문에 질화탄소막 중착 시 중착율이 낮고, 중착된 막도 대부분 비정질상태에서 부분적으로 결정화된 질화탄소막이 관찰되고 있으며, 탄소와 질소의 성분도 명확하게 나타나고 있지 않다[2,3].

반도체 회로의 연결은 크게 도선과 이 도선들 사이의 절연체로 구성되어 있다. 기억용량이 크고 데이터 처리속도가 빠른 소자를 만들기 위해서는 전도도가 높은 도선과 유전상수(dielectric constant  $k$ ) 값이 작은 절연체를 사용하여 칩 하나의 크기를 작게 만들어야 한다. 그러나 도선

과 도선 사이의 간격이 좁아지면 절연막은 두 도선에 의해 일종의 캐패시턴스처럼 작용하여 전자의 흐름을 방해하고 전력의 소모를 증가시킨다. 따라서 보다 강력한 절연성을 가진 물질의 개발에 관해 관심이 집중되고 있다.

본 연구에서는 질화 탄소막을 형성하기 위하여 막 질이 치밀하고 저온에서 성막이 가능한 RF Reactive Magnetron Sputtering 장치를 이용하였다. 특히 기존 스퍼터링 시스템은 기판만을 가열하였으나 본 시스템[4]에서는 웨이퍼 전체를 가열하여 웨이퍼 내부에 균일한 온도를 유지할 수 있으며 기판 전역에 동일한 열에너지를 공급할 수 있게 하였다. 반응성 가스로는 순수한 질소 가스를 사용하였다.  $NH_3$  가스는 스퍼터링 시 hydrogen cyanide를 형성할 가능성이 있으므로 사용에 어려움이 있다. 기판으로는 Si-wafer와  $Si_3N_4$ 를 이용하였으며 RF파워,  $N_2/Ar$ 의 비 등 다양한 조건에 따라  $CN_x$ 막 형성에 미치는 영향을 조사하였다.

## 2. 실 험

기판은 면 저항이  $10 \Omega \cdot cm$ 인 Si 웨이퍼는 4 인치의 봉

소가 도핑된 p형(100) 웨이퍼를 사용하였다.  $\text{Si}_3\text{N}_4$ 는 4 인치 p형(100) 실리콘웨이퍼에  $\text{Si}_3\text{N}_4$ 를 성장 시키고 뒷면은 드라이에칭으로 막을 제거하여 사용하였다.

LPCVD(Low Pressure Chemical Vapor Deposition)법을 사용하여 실리콘 웨이퍼 위에 실리콘 질화막을 형성하였으며, 그때의 두께는 각각 약 2500 Å 이었다.  $\text{CN}_x$ 막을 형성하기 위해서 반응성 RF 마그네트론 스퍼터링법을 사용하여 낮은 압력을에서 질화탄소막을 형성하였다. 타겟은 99.997 %의 3 인치 그래파이트(graphite)를 사용하였다. 반응성 가스는 질소( $\text{N}_2$ )를 사용하였으며, 순도는 99.999 %이다. 스퍼터링 가스는 순수한 아르곤(99.999 %)을 사용하였다. 그림 1은 본 실험에서 사용된 RF 마그네트론 스퍼터링 장치의 구조를 나타낸 것이다.

챔버 내의 압력을  $3.5 \times 10^{-6}$  torr까지 낮춘 후 MFC(Mass Flow Controller)를 통해 아르곤을 유입하고 플라즈마 방전 시에 셔터로 차단하여 약 5분간 예비 스퍼터링을 실시하여 타겟 표면의 불순물을 제거하였다. 기판은 타겟과 6 ~ 8 cm 사이에서 거리 조절이 가능하게 하였고, 챔버와 함께 접지가 되거나 따로 직류 바이어스 단자와 연결할 수 있도록 하였다. 질화탄소막 증착 시 스퍼터링 조건은 전력은 200W, 내부온도는 200 °C 그리고 증착시간은 30분으로 하였다.  $\text{CN}_x$ 막 증착이 완료된 시료들은 측정 조건에 알맞게 가공 변형하여 막의 특성을 분석하였다.

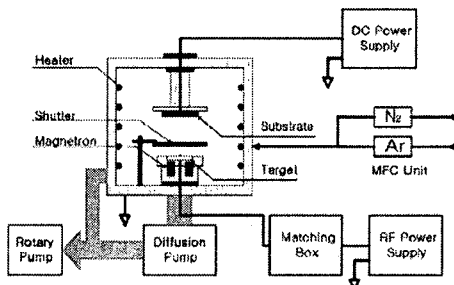


Fig. 1. Schematic of reactive RF magnetron sputtering system.

질화탄소막의 전기적 특성을 알아보기 위해 질소농도에 따른 유전율 및 저항률 측정을 위해 MIS(Metal-Insulator-Semiconductor) 구조로 소자를 제작하였다. 실온에서 RCL Meter(FLUKE PM6306)를 사용해 유전율을 측정하였고 반도체 소자 분석기(CATS CA-EDA)를 사용하여 I-V 곡선으로부터 저항률을 계산하였다.  $\text{CN}_x$ 막 증착이 완료된 시료들은 측정 조건에 알맞게 가공 변형하여 막의 특성을 분석을 하였다.

### 3. 결과 및 고찰

주사전자현미경(Scanning Electron Microscope, SEM)을 사용하여 막의 표면 및 측면 구조를 관찰하고, 대략적인 막의 두께를 계산하였다. SEM분석을 위한 장비는

ABT-32 (TOPCON, Japan)를 사용하였고, 기판이 대전되는 것을 막기 위해 이온 스퍼터링 장치를 이용하여 시료의 표면에 얇게 백금 막을 증착하였다. 그림 2는 각각 Si와  $\text{Si}_3\text{N}_4$ /Si 기판 위에 증착한  $\text{CN}_x$ 막의 표면과 측면의 SEM 사진이다. 질화탄소막 증착 시 스퍼터링 조건은  $\text{N}_2$ 와 Ar의 비는 0/10, 3/7, 5/5, 7/3 및 10/0로 조절하였고, 전력은 200 W, 내부온도는 200 °C 그리고 증착시간은 30분으로 하였다. 질소가 0%일 때는 C와 N의 결합이 거의 없어 막 형성이 잘 일어나지 않고 점차로 질소의 비율을 증가시켰을 때 막의 형성이 좋다고 보여 진다. 하지만, 질소가 100%일 때는 아르곤이 없어 스퍼터링이 떨어지기 때문에  $\text{CN}_x$ 막 증착이 오히려 감소하는 현상이 일어났다.

기판인 실리콘(Si)과 증착된 질화탄소막 사이 인터페이스(interface) 영역에 얇은 층이 나타난 것을 볼 수 있다. 이는 FTIR 분석의 토대로  $\text{SiCN}$ ,  $\text{SiC}$ 의 구조가 나타났다 [6].

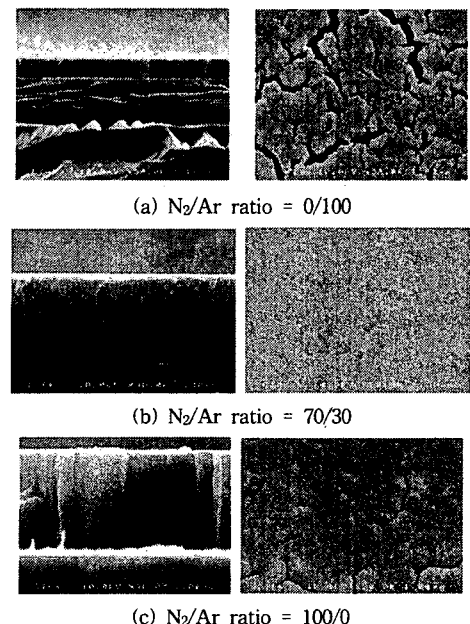


Fig. 2. SEM photographs of surface and cross-section of  $\text{CN}_x$  film on Si as different  $\text{N}_2/\text{Ar}$  ratio: (a) 0/10, (b) 7/3 and (c) 10/0.

$\text{CN}_x$ 막의 결합 상태와 분자구조를 확인하기 위하여 (Research 1 Series, Mattson, UK) 퓨리에 변환 적외선 분광기(Fourier Transform - Infrared Spectrometer, FTIR)를 사용하였다. 그림 3은  $\text{N}_2/\text{Ar}$  비에 따른 Si기판에 증착한 질화탄소( $\text{CN}_x$ )막의 FTIR 스펙트럼이다.  $753 \text{ cm}^{-1}$ ,  $882 \text{ cm}^{-1}$ 과  $1257 \text{ cm}^{-1}$ 부근에서  $\alpha-\text{C}_3\text{N}_4$  피크가 발견되었다. 그 외에도  $2200 \text{ cm}^{-1}$  부근의  $\text{C}\equiv\text{N}$  진동모드와  $3300 \text{ cm}^{-1}$  부근의  $\text{NH}_2$ 와  $\text{N}-\text{H}$ 의 진동모드가 나타났다. 이는 증착 동안에 챔버 내 수분의 오염으로 인한 것으로 사료된다.

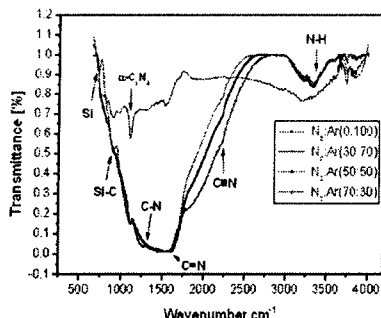


Fig. 3. FTIR spectra of  $\text{CN}_x$  films deposited on Si as different  $\text{N}_2/\text{Ar}$  ratio.

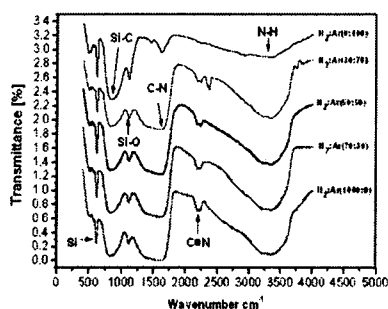


Fig. 4. FTIR spectra of  $\text{CN}_x$  films deposited on  $\text{Si}_3\text{N}_4/\text{Si}$  as different  $\text{N}_2/\text{Ar}$  ratio.

그림 4는  $\text{N}_2/\text{Ar}$  비에 따른  $\text{Si}_3\text{N}_4/\text{Si}$  기판에 증착한 질화탄소( $\text{CN}_x$ )막의 FTIR 스펙트럼이다. 질소분암비가 증가함에 따라  $2200$ ,  $3500\text{ cm}^{-1}$  부분의 IR 인тен시티가 증가함을 알 수 있다. 이 밴드들은 각각  $\text{C}\equiv\text{N}$ ,  $\text{N}-\text{H}$  진동모드에 기인하는 것으로 한다. 또한  $\text{Si}(\sim 614\text{ cm}^{-1})$ ,  $\text{Si}-\text{C}(\sim 816\text{ cm}^{-1})$ ,  $\text{Si}-\text{O}(1080\text{--}1100\text{ cm}^{-1})$ , 그리고  $\text{C}-\text{N}(\sim 1463\text{ cm}^{-1})$  진동모드가 관찰되었다. 또한 파수  $1500\text{ cm}^{-1}$  부근에  $\text{N}_2/\text{Ar}$ 이 증가함에 따라 IR 인тен시티가 증가하였다. 그리고 순수한 Ar에서 증착한 막의  $1200\text{--}1500\text{ cm}^{-1}$  부근의 흡수밴드는 약하게 나타났다. 이는 보통 IR-inactive 영역일지라도 Raman-active G(graphite-like  $\text{sp}^2$  carbon) 와 D(disordered  $\text{sp}^2$  carbon) 밴드로 추정된다.

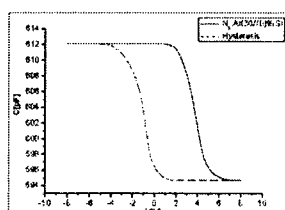


Fig. 5. C-V plot of MIS capacitors as a function of  $\text{N}_2/\text{Ar}$  ratio; (a) 30/70 (b) 70/30.

Table 1. Dielectric constant of carbon nitride film according to  $\text{N}_2/\text{Ar}$  ratio (frequency: 1 MHz).

$\text{N}_2/\text{Ar}$ ratio	0/100	30/70	50/50	70/30	100/0
Dielectric constant	1.152	2.974	3.029	3.137	4.33

제조된 MIS 캐패시터의 C-V 특성을 조사하기 위해 인가된 전압은  $-8\text{ V}\sim+8\text{ V}$ 로 하였으며  $0.5\text{ V}$  간격으로 정전용량 변화를 측정하였다. 그림 5는 반응가스( $\text{N}_2$ )와 스퍼터링 가스(Ar)의 비에 따른 실리콘 기판 위에 증착한  $\text{CN}_x$  막의 C-V 특성을 나타낸 것이다. 그림 5(a)는 질소 대 아르곤의 비를 30/70으로 주입하여 증착한 시료의 C-V 특성으로 약  $2\text{ V}$  근방에서 결핍이 일어나기 시작하여 약  $5\text{ V}$  근방에서 반전이 형성되었다. 그러나 정전위에서 부전위로 정압을 낮춤에 따라 약  $5\text{ V}$  정도의 히스테리시스가 남을 알 수 있었다. 반도체 기판과 질화탄소막의 인터페이스에 존재하는 절연막 고정 전하와 절연막 포획 전하에 의해 이상적인 C-V 특성곡선에 비해 편차가 나타났다.

표 1은 C-V 곡선으로부터 얻은  $\text{CN}_x$ 막의 유전율을 나타낸 것이다. 비유전율 값이 1.152에서 4.33까지 전체적으로 낮은 유전상수 값을 가졌으며 질소의 분압에 대해 증가하였다. 질소 대 아르곤의 비가 30/70, 50/50 및 70/30에서는 비슷한 비유전율 값을 나타냈지만 질소만을 주입한 경우 유전율 값이 크게 상승하였다.

#### 4. 결 론

반응성 RF 스퍼터링법으로 기판의 종류, RF 파워, 질소와 아르곤의 비 등 다양한 조건 하에서 질화탄소막을 성장하고,  $\text{Al}/\text{CN}_x/\text{Si}/\text{Al}$  구조의 캐패시터를 제조하여  $\text{CN}_x$ 막의 특성 및 전기적 특성을 측정함으로 다음과 같은 결과를 얻었다.

- SEM 및 알파스텝 분석을 통해  $\text{N}_2/\text{Ar}$  비가 증가할수록 질화탄소막의 증착률이 증가하였다.
- FTIR 분석을 통해서 탄소와 질소가 화학적으로 결합함을 알 수 있으며, 질화탄소막이 형성되었음을 확인하였다.
- 질화탄소막의 비유전율 값은 질소의 농도에 따라 3.21

에서 3.73으로 나타났고, 광원 층의 두께는 약 800 nm ~ 1.04  $\mu$ m로 계산되어졌다.

4) 비정질 질화탄소막은 비교적 높은 저항률과 낮은 유전율을 가져 반도체의 층간 절연막에 응용 가능하다는 것을 확인하였다.

### 참고 문헌

- [1] J.L. Corkill and M.L. Cohen, "Calculated quasiparticle band gap of  $\beta$ -C<sub>3</sub>N<sub>4</sub>", Phys. Rev. B 48, 17622(1993)
- [2] K.M. Yu, M.L. Cohen, E.E. Haller, W.L. Hansen, A.Y. Liu, I.C. Wu, "Observation of crystalline C<sub>3</sub>N<sub>4</sub>" Phys. Rev. B 49, 5034(1994)
- [3] David M. Teter and Russell J. Hemley, "Low-Compressibility Carbon Nitrides", Science 271, 53(1996)
- [4] 이성필, 강종봉, "반응성 스퍼터링으로 성장된 결정성 질화 탄소막의 기계적 특성", 전기전자재료학회 논문지, 제15권 2호, p. 147(2002)